

Enumeração de *traces* e Identificação de *breakpoints*

Estudo de aspectos da evolução

Defesa de Tese de Doutorado

Candidato: Christian Baudet
Orientador: Prof. Dr. Zanoni Dias

Instituto de Computação – Universidade Estadual de Campinas

13 de Dezembro de 2010

Agenda

- 1 Parte I – Enumeração de traces
 - Conceitos básicos
 - Enumeração de todos os traces de soluções
 - Enumeração parcial de traces de soluções

- 2 Parte II – Identificação de breakpoints
 - Conceitos básicos
 - Identificação e refinamento de breakpoints
 - Análise de sequências intergênicas

Parte I

Enumeração de *traces*

Permutações

- Cromossomos
 - ▶ Sequências de marcadores genômicos
 - ★ Genes
 - ★ Blocos conservados
- Identificadores numéricos
 - ▶ Permutação não orientada
 - ▶ Permutação orientada
 - ★ Orientação dos marcadores
 - ★ Sinais positivos (+) e negativos (-)
- Dados de ortologia
 - ▶ Marcadores com ancestral comum
 - ▶ Comparação de diferentes genomas
 - ▶ Estudo de eventos de rearranjos

Permutações

- Cromossomos
 - ▶ Sequências de marcadores genômicos
 - ★ Genes
 - ★ Blocos conservados
- Identificadores numéricos
 - ▶ Permutação não orientada
 - ▶ Permutação orientada
 - ★ Orientação dos marcadores
 - ★ Sinais positivos (+) e negativos (-)
- Dados de ortologia
 - ▶ Marcadores com ancestral comum
 - ▶ Comparação de diferentes genomas
 - ▶ Estudo de eventos de rearranjos

Permutações

- Cromossomos
 - ▶ Sequências de marcadores genômicos
 - ★ Genes
 - ★ Blocos conservados
- Identificadores numéricos
 - ▶ Permutação não orientada
 - ▶ Permutação orientada
 - ★ Orientação dos marcadores
 - ★ Sinais positivos (+) e negativos (-)
- Dados de ortologia
 - ▶ Marcadores com ancestral comum
 - ▶ Comparação de diferentes genomas
 - ▶ Estudo de eventos de rearranjos

Ordenação por reversões

- Encontrar sequência ótima de reversões
- Permutações não orientadas
 - ▶ Problema NP-Completo
- Permutações orientadas
 - ▶ Hannenhalli e Pevzner, 1995 – $O(n^4)$
 - ▶ Bergeron, 2001 – $O(n^2)$
 - ▶ Tannier, Bergeron e Sagot, 2007 – $O(n^{3/2}\sqrt{\log n})$
 - ▶ Swenson *et al.*, 2010 – $O(n \log n + kn)$

Ordenação por reversões

- Encontrar sequência ótima de reversões
- Permutações não orientadas
 - ▶ Problema NP-Completo
- Permutações orientadas
 - ▶ Hannenhalli e Pevzner, 1995 – $O(n^4)$
 - ▶ Bergeron, 2001 – $O(n^2)$
 - ▶ Tannier, Bergeron e Sagot, 2007 – $O(n^{3/2}\sqrt{\log n})$
 - ▶ Swenson *et al.*, 2010 – $O(n \log n + kn)$

Ordenação por reversões

- Encontrar sequência ótima de reversões
- Permutações não orientadas
 - ▶ Problema NP-Completo
- Permutações orientadas
 - ▶ Hannenhalli e Pevzner, 1995 – $O(n^4)$
 - ▶ Bergeron, 2001 – $O(n^2)$
 - ▶ Tannier, Bergeron e Sagot, 2007 – $O(n^{3/2}\sqrt{\log n})$
 - ▶ Swenson *et al.*, 2010 – $O(n \log n + kn)$

Ordenação por reversões

- Exemplo:

$$\pi_0 = (-3, +2, +1, -4)$$

$$\pi_1 = (-3, +4, -1, -2)$$

$$\pi_2 = (+3, +4, -1, -2)$$

$$\pi_3 = (+1, -4, -3, -2)$$

$$\pi_4 = (+1, +2, +3, +4)$$

- Algoritmos tradicionais

- ▶ Uma solução ótima
- ▶ $\pi = (-3, +2, +1, -4)$
 - ★ $n = 4, d(\pi) = 4$ e 28 soluções
- ▶ $\pi = (-4, -11, +6, -9, -2, +1, -8, +3, -10, +7, -5)$
 - ★ $n = 11, d(\pi) = 10$ e 6.345.019 soluções

Ordenação por reversões

- Exemplo:

$$\pi_0 = (-3, +2, +1, -4)$$

$$\pi_1 = (-3, +4, -1, -2)$$

$$\pi_2 = (+3, +4, -1, -2)$$

$$\pi_3 = (+1, -4, -3, -2)$$

$$\pi_4 = (+1, +2, +3, +4)$$

- Algoritmos tradicionais

- ▶ Uma solução ótima
- ▶ $\pi = (-3, +2, +1, -4)$
 - ★ $n = 4, d(\pi) = 4$ e 28 soluções
- ▶ $\pi = (-4, -11, +6, -9, -2, +1, -8, +3, -10, +7, -5)$
 - ★ $n = 11, d(\pi) = 10$ e 6.345.019 soluções

Ordenação por reversões

- Exemplo:

$$\pi_0 = (-3, +2, +1, -4)$$

$$\pi_1 = (-3, +4, -1, -2)$$

$$\pi_2 = (+3, +4, -1, -2)$$

$$\pi_3 = (+1, -4, -3, -2)$$

$$\pi_4 = (+1, +2, +3, +4)$$

- Algoritmos tradicionais

- ▶ Uma solução ótima
- ▶ $\pi = (-3, +2, +1, -4)$
 - ★ $n = 4, d(\pi) = 4$ e 28 soluções
- ▶ $\pi = (-4, -11, +6, -9, -2, +1, -8, +3, -10, +7, -5)$
 - ★ $n = 11, d(\pi) = 10$ e 6.345.019 soluções

Ordenação por reversões

- Exemplo:

$$\pi_0 = (-3, +2, +1, -4)$$

$$\pi_1 = (-3, +4, -1, -2)$$

$$\pi_2 = (+3, +4, -1, -2)$$

$$\pi_3 = (+1, -4, -3, -2)$$

$$\pi_4 = (+1, +2, +3, +4)$$

- Algoritmos tradicionais

- ▶ Uma solução ótima
- ▶ $\pi = (-3, +2, +1, -4)$
 - ★ $n = 4, d(\pi) = 4$ e 28 soluções
- ▶ $\pi = (-4, -11, +6, -9, -2, +1, -8, +3, -10, +7, -5)$
 - ★ $n = 11, d(\pi) = 10$ e 6.345.019 soluções

Ordenação por reversões

- Exemplo:

$$\pi_0 = (-3, +2, +1, -4)$$

$$\pi_1 = (-3, +4, -1, -2)$$

$$\pi_2 = (+3, +4, -1, -2)$$

$$\pi_3 = (+1, \textcolor{red}{-4}, \textcolor{red}{-3}, \textcolor{red}{-2})$$

$$\pi_4 = (+1, \textcolor{blue}{+2}, \textcolor{blue}{+3}, \textcolor{blue}{+4})$$

- Algoritmos tradicionais

- ▶ Uma solução ótima
- ▶ $\pi = (-3, +2, +1, -4)$
 - ★ $n = 4, d(\pi) = 4$ e 28 soluções
- ▶ $\pi = (-4, -11, +6, -9, -2, +1, -8, +3, -10, +7, -5)$
 - ★ $n = 11, d(\pi) = 10$ e 6.345.019 soluções

Ordenação por reversões

- Exemplo:

$$\begin{aligned}\pi_0 &= (-3, +2, +1, -4) \\ \pi_1 &= (-3, +4, -1, -2) \\ \pi_2 &= (+3, +4, -1, -2) \\ \pi_3 &= (+1, -4, -3, -2) \\ \pi_4 &= (\textcolor{blue}{+1}, \textcolor{blue}{+2}, \textcolor{blue}{+3}, \textcolor{blue}{+4})\end{aligned}$$

- Algoritmos tradicionais

- ▶ Uma solução ótima
- ▶ $\pi = (-3, +2, +1, -4)$
 - ★ $n = 4, d(\pi) = 4$ e 28 soluções
- ▶ $\pi = (-4, -11, +6, -9, -2, +1, -8, +3, -10, +7, -5)$
 - ★ $n = 11, d(\pi) = 10$ e 6.345.019 soluções

Ordenação por reversões

- Exemplo:

$$\pi_0 = (-3, +2, +1, -4)$$

$$\pi_1 = (-3, +4, -1, -2)$$

$$\pi_2 = (+3, +4, -1, -2)$$

$$\pi_3 = (+1, -4, -3, -2)$$

$$\pi_4 = (+1, +2, +3, +4)$$

- Algoritmos tradicionais

- ▶ Uma solução ótima
- ▶ $\pi = (-3, +2, +1, -4)$
 - ★ $n = 4, d(\pi) = 4$ e 28 soluções
- ▶ $\pi = (-4, -11, +6, -9, -2, +1, -8, +3, -10, +7, -5)$
 - ★ $n = 11, d(\pi) = 10$ e 6.345.019 soluções

Enumeração de soluções

- Estudo de cenários evolutivos alternativos
- *Optimal 1-sequences*
 - ▶ Conjunto de reversões
 - ▶ Diminuem $d(\pi)$ em 1 unidade
- Siepel, 2003
 - ▶ Conjunto de todas as *optimal 1-sequences*
 - ▶ Complexidade: $O(n^3)$
- Iteração do algoritmo de Siepel
 - ▶ Enumeração de todas as soluções
 - ▶ Complexidade: $O(n^{2n+3})$

Enumeração de soluções

- Estudo de cenários evolutivos alternativos
- *Optimal 1-sequences*
 - ▶ Conjunto de reversões
 - ▶ Diminuem $d(\pi)$ em 1 unidade
- Siepel, 2003
 - ▶ Conjunto de todas as *optimal 1-sequences*
 - ▶ Complexidade: $O(n^3)$
- Iteração do algoritmo de Siepel
 - ▶ Enumeração de todas as soluções
 - ▶ Complexidade: $O(n^{2n+3})$

Enumeração de soluções

- Estudo de cenários evolutivos alternativos
- *Optimal 1-sequences*
 - ▶ Conjunto de reversões
 - ▶ Diminuem $d(\pi)$ em 1 unidade
- Siepel, 2003
 - ▶ Conjunto de todas as *optimal 1-sequences*
 - ▶ Complexidade: $O(n^3)$
- Iteração do algoritmo de Siepel
 - ▶ Enumeração de todas as soluções
 - ▶ Complexidade: $O(n^{2n+3})$

Enumeração de soluções

- Estudo de cenários evolutivos alternativos
- *Optimal 1-sequences*
 - ▶ Conjunto de reversões
 - ▶ Diminuem $d(\pi)$ em 1 unidade
- Siepel, 2003
 - ▶ Conjunto de todas as *optimal 1-sequences*
 - ▶ Complexidade: $O(n^3)$
- Iteração do algoritmo de Siepel
 - ▶ Enumeração de todas as soluções
 - ▶ Complexidade: $O(n^{2n+3})$

Traces

- Bergeron *et al.*, 2002
 - ▶ Introdução do conceito de *traces*
- Se ρ e θ são reversões que não se sobrepõem
 - ▶ $\rho\theta$ e $\theta\rho$ são equivalentes
 - ▶ ρ e θ comutam
- Representação mais compacta
 - ▶ Um único *trace* pode representar diversas soluções
 - ▶ Todo *trace* tem uma única forma normal

Traces

- Bergeron *et al.*, 2002
 - ▶ Introdução do conceito de *traces*
- Se ρ e θ são reversões que não se sobrepõem
 - ▶ $\rho\theta$ e $\theta\rho$ são equivalentes
 - ▶ ρ e θ comutam
- Representação mais compacta
 - ▶ Um único *trace* pode representar diversas soluções
 - ▶ Todo *trace* tem uma única forma normal

Traces

- Bergeron *et al.*, 2002
 - ▶ Introdução do conceito de *traces*
- Se ρ e θ são reversões que não se sobrepõem
 - ▶ $\rho\theta$ e $\theta\rho$ são equivalentes
 - ▶ ρ e θ comutam
- Representação mais compacta
 - ▶ Um único *trace* pode representar diversas soluções
 - ▶ Todo *trace* tem uma única forma normal

Forma normal

- Um trace T está em sua forma normal se pode ser decomposto em sub-palavras $s = u_1 | \dots | u_m$:
 - ▶ todo par de elementos da sub-palavra u_i comuta;
 - ▶ para todo elemento ρ de uma sub-palavra u_i ($i > 1$), existe ao menos um elemento θ da sub-palavra u_{i-1} tal que ρ e θ não comutam;
 - ▶ toda sub-palavra u_i é não vazia e seus elementos estão em ordem lexicográfica crescente.
- Exemplo: $\pi = (-3, +2, +1, -4)$
 - ▶ $\{1, 2, 4\}\{3\}|\{1, 3, 4\}|\{2, 3, 4\}$
 - ★ Tamanho = 4, Altura = 3 e Soluções = 4
 - ▶ $\{1\}\{1, 2, 3\}\{2\}\{4\}$
 - ★ Tamanho = 4, Altura = 1 e Soluções = 24

Forma normal

- Um trace T está em sua forma normal se pode ser decomposto em sub-palavras $s = u_1 | \dots | u_m$:
 - ▶ todo par de elementos da sub-palavra u_i comuta;
 - ▶ para todo elemento ρ de uma sub-palavra u_i ($i > 1$), existe ao menos um elemento θ da sub-palavra u_{i-1} tal que ρ e θ não comutam;
 - ▶ toda sub-palavra u_i é não vazia e seus elementos estão em ordem lexicográfica crescente.
- Exemplo: $\pi = (-3, +2, +1, -4)$
 - ▶ $\{1, 2, 4\}\{3\}|\{1, 3, 4\}|\{2, 3, 4\}$
 - ★ Tamanho = 4, Altura = 3 e Soluções = 4
 - ▶ $\{1\}\{1, 2, 3\}\{2\}\{4\}$
 - ★ Tamanho = 4, Altura = 1 e Soluções = 24

Enumeração de *traces*

- Braga *et al.*, 2008

- ▶ Combina idéias de Siepel, 2003 e Bergeron *et al.*, 2002.
- ▶ Enumeração de todos *traces* de soluções ótimas
- ▶ Complexidade: $O(Nn^{k_{max}+4})$
- ▶ Contagem do número de soluções

- Restrições biológicas

- ▶ Detecção de intervalos comuns
- ▶ Detecção progressiva de intervalos comuns
- ▶ Simetria ao término de replicação
- ▶ Estratos evolucionários

Enumeração de *traces*

- Braga *et al.*, 2008

- ▶ Combina idéias de Siepel, 2003 e Bergeron *et al.*, 2002.
- ▶ Enumeração de todos *traces* de soluções ótimas
- ▶ Complexidade: $O(Nn^{k_{max}+4})$
- ▶ Contagem do número de soluções

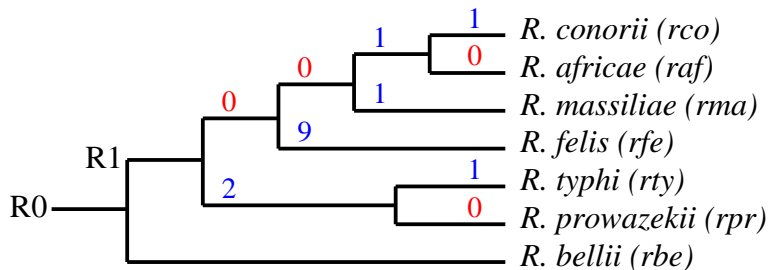
- Restrições biológicas

- ▶ Detecção de intervalos comuns
- ▶ Detecção progressiva de intervalos comuns
- ▶ Simetria ao término de replicação
- ▶ Estratos evolucionários

Comparação de grupos de espécies

- Gênero *Rickettsia*

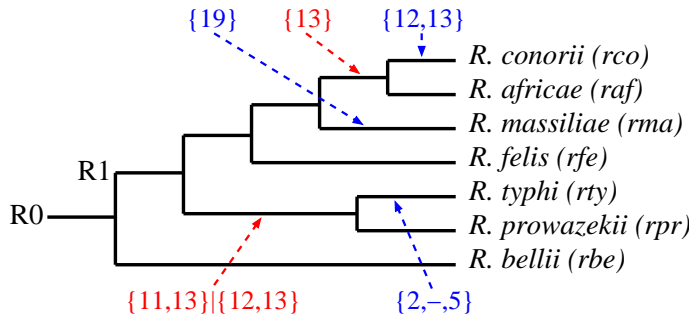
- ▶ Grupo de α -proteobactérias intracelulares obrigatórias
- ▶ Blanc *et al.*, 2007 analisaram 7 membros deste gênero



- Permutações construídas com base no ancestral R1
- Enumeração de *traces*

Comparação de grupos de espécies

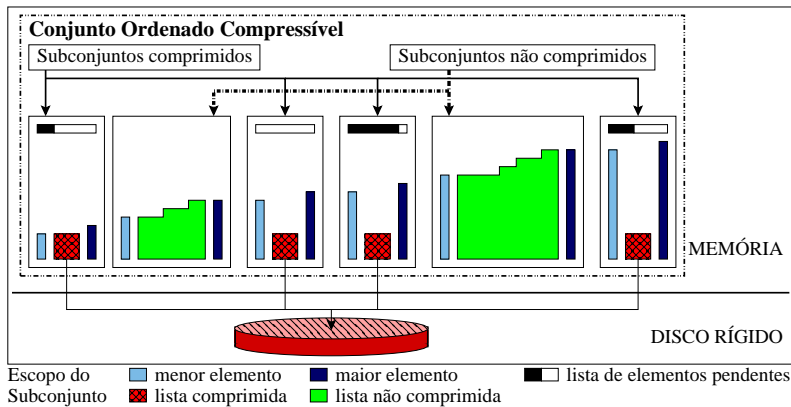
- Análise do conjunto de *traces* e árvore filogenética
 - ▶ Inferência da ordem cronológica de algumas reversões



- Trabalho apresentado no ISB 2010 (Calicute, Índia)

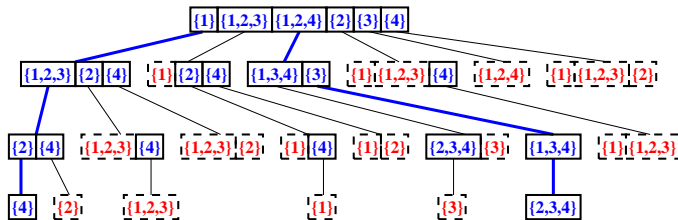
Otimização de desempenho

- Braga *et al.*, 2008
 - ▶ Conjunto ordenado compressível



Otimização de desempenho

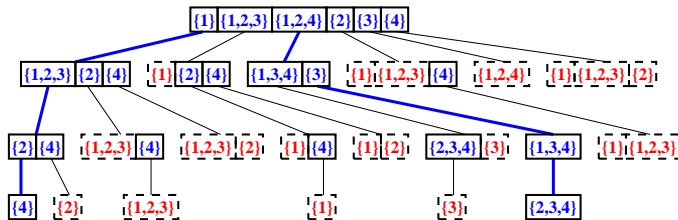
- Conjunto de *traces*
 - ▶ Representação em forma de árvore



- Braga *et al.*, 2008
 - ▶ Explora a árvore em largura
- Estratégia alternativa
 - ▶ Explorar a árvore em profundidade

Otimização de desempenho

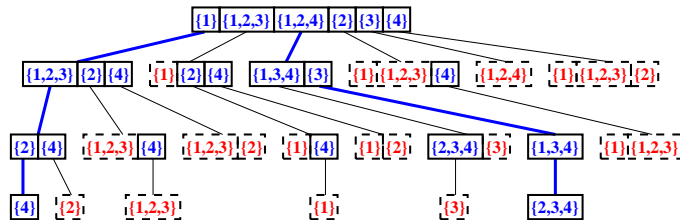
- Conjunto de *traces*
 - ▶ Representação em forma de árvore



- Braga *et al.*, 2008
 - ▶ Explora a árvore em largura
- Estratégia alternativa
 - ▶ Explorar a árvore em profundidade

Otimização de desempenho

- Conjunto de *traces*
 - ▶ Representação em forma de árvore



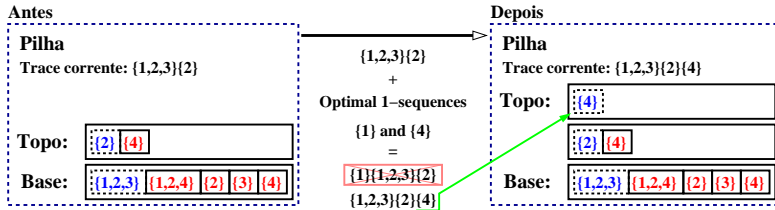
- Braga *et al.*, 2008
 - ▶ Explora a árvore em largura
- Estratégia alternativa
 - ▶ Explorar a árvore em profundidade

Otimização de desempenho

- Estrutura de pilha

- ▶ Critério de construção do topo da pilha

- ★ Evita que todo o espaço de soluções seja explorado
 - ★ Garante enumeração de todos os *traces*



- Um único ramo da árvore é explorado

Otimização de desempenho

- Vantagens
 - ▶ Menor consumo de memória
 - ▶ Eliminação de acesso a discos
 - ▶ Redução do tempo de execução
 - ▶ Algoritmo paralelizável
 - ▶ Recuperação em caso de interrupção
- Desvantagens
 - ▶ Não permite contagem de soluções
 - ▶ Limitado a restrições que produzam *traces* perfeitos
- Trabalho apresentado no SAC 2010 (Sierre, Suíça)

Otimização de desempenho

- Vantagens
 - ▶ Menor consumo de memória
 - ▶ Eliminação de acesso a discos
 - ▶ Redução do tempo de execução
 - ▶ Algoritmo paralelizável
 - ▶ Recuperação em caso de interrupção
- Desvantagens
 - ▶ Não permite contagem de soluções
 - ▶ Limitado a restrições que produzam *traces* perfeitos
- Trabalho apresentado no SAC 2010 (Sierre, Suíça)

Otimização de desempenho

- Vantagens
 - ▶ Menor consumo de memória
 - ▶ Eliminação de acesso a discos
 - ▶ Redução do tempo de execução
 - ▶ Algoritmo paralelizável
 - ▶ Recuperação em caso de interrupção
- Desvantagens
 - ▶ Não permite contagem de soluções
 - ▶ Limitado a restrições que produzam *traces* perfeitos
- Trabalho apresentado no SAC 2010 (Sierre, Suíça)

Trabalhos relacionados

- Swenson, Badr e Sankoff, 2010
 - ▶ Algoritmo $O(n^2)$ para listagem de *optimal 1-sequences*
- Badr, Swenson e Sankoff, 2010
 - ▶ Análise de complexidade do algoritmo de pilha
 - ★ $O(Nn^42^n)$ contra $O(Nn^{k_{max}+4})$ do algoritmo original
 - ▶ Nova estratégia
 - ★ Agrupamento de *i-traces* de acordo com as permutações que eles geram
 - ★ Redução do tempo de execução

Trabalhos relacionados

- Swenson, Badr e Sankoff, 2010
 - ▶ Algoritmo $O(n^2)$ para listagem de *optimal 1-sequences*
- Badr, Swenson e Sankoff, 2010
 - ▶ Análise de complexidade do algoritmo de pilha
 - ★ $O(Nn^42^n)$ contra $O(Nn^{k_{max}+4})$ do algoritmo original
 - ▶ Nova estratégia
 - ★ Agrupamento de *i-traces* de acordo com as permutações que eles geram
 - ★ Redução do tempo de execução

Enumeração parcial de *traces*

- Enumeração total de *traces*
 - ▶ Número exponencial de soluções ótimas
 - ▶ Viável apenas para pequenas permutações

- Enumeração parcial de *traces*
 - ▶ Enumeração de um sub-conjunto de *traces*
 - ▶ Processamento de grandes permutações
 - ▶ Produção de cenários alternativos

Enumeração parcial de *traces*

- Enumeração total de *traces*
 - ▶ Número exponencial de soluções ótimas
 - ▶ Viável apenas para pequenas permutações

- Enumeração parcial de *traces*
 - ▶ Enumeração de um sub-conjunto de *traces*
 - ▶ Processamento de grandes permutações
 - ▶ Produção de cenários alternativos

Enumeração parcial de *traces*

- Algoritmos possuem critério de parada
 - ▶ Tempo limite de execução
- Proposição de três algoritmos
 - ① Algoritmo de pilha limitado por tempo (Stack)
 - ② Algoritmo aleatório para geração de *traces* (Random)
 - ③ Algoritmo de janela deslizante (Window)

Enumeração parcial de *traces*

- Algoritmos possuem critério de parada
 - ▶ Tempo limite de execução
- Proposição de três algoritmos
 - ① Algoritmo de pilha limitado por tempo (Stack)
 - ② Algoritmo aleatório para geração de *traces* (Random)
 - ③ Algoritmo de janela deslizante (Window)

Enumeração parcial de *traces*

- Algoritmos possuem critério de parada
 - ▶ Tempo limite de execução
- Proposição de três algoritmos
 - 1 Algoritmo de pilha limitado por tempo (Stack)
 - 2 Algoritmo aleatório para geração de *traces* (Random)
 - 3 Algoritmo de janela deslizante (Window)

Enumeração parcial de *traces*

- Algoritmos possuem critério de parada
 - ▶ Tempo limite de execução
- Proposição de três algoritmos
 - ① Algoritmo de pilha limitado por tempo (Stack)
 - ② Algoritmo aleatório para geração de *traces* (Random)
 - ③ Algoritmo de janela deslizante (Window)

Enumeração parcial de *traces*

- Algoritmos possuem critério de parada
 - ▶ Tempo limite de execução
- Proposição de três algoritmos
 - ① Algoritmo de pilha limitado por tempo (Stack)
 - ② Algoritmo aleatório para geração de *traces* (Random)
 - ③ Algoritmo de janela deslizante (Window)

Algoritmo Random

- Geração aleatória de *traces* entre π_0 e π_d
- A partir de π_i e do *i-trace* t associado
 - ① Produção da lista L de *optimal 1-sequences* de π_i
 - ② Seleção aleatória de uma reversão ρ de L
 - ③ Criação do $(i + 1)$ -*trace* $t' \leftarrow t + \rho$
 - ④ Geração de $\pi_{i+1} \leftarrow \pi_i \circ \rho$

Algoritmo Random

- Geração aleatória de *traces* entre π_0 e π_d
- A partir de π_i e do *i-trace* t associado
 - ① Produção da lista L de *optimal 1-sequences* de π_i
 - ② Seleção aleatória de uma reversão ρ de L
 - ③ Criação do $(i + 1)$ -*trace* $t' \leftarrow t + \rho$
 - ④ Geração de $\pi_{i+1} \leftarrow \pi_i \circ \rho$

Algoritmo Random

- Geração aleatória de *traces* entre π_0 e π_d
- A partir de π_i e do *i-trace* t associado
 - ① Produção da lista L de *optimal 1-sequences* de π_i
 - ② Seleção aleatória de uma reversão ρ de L
 - ③ Criação do $(i + 1)$ -*trace* $t' \leftarrow t + \rho$
 - ④ Geração de $\pi_{i+1} \leftarrow \pi_i \circ \rho$

Algoritmo Random

- Geração aleatória de *traces* entre π_0 e π_d
- A partir de π_i e do *i-trace* t associado
 - ① Produção da lista L de *optimal 1-sequences* de π_i
 - ② Seleção aleatória de uma reversão ρ de L
 - ③ Criação do $(i + 1)$ -*trace* $t' \leftarrow t + \rho$
 - ④ Geração de $\pi_{i+1} \leftarrow \pi_i \circ \rho$

Algoritmo Random

- Geração aleatória de *traces* entre π_0 e π_d
- A partir de π_i e do *i-trace* t associado
 - ① Produção da lista L de *optimal 1-sequences* de π_i
 - ② Seleção aleatória de uma reversão ρ de L
 - ③ Criação do $(i + 1)$ -*trace* $t' \leftarrow t + \rho$
 - ④ Geração de $\pi_{i+1} \leftarrow \pi_i \circ \rho$

Algoritmo Random

- Geração aleatória de *traces* entre π_0 e π_d
- A partir de π_i e do *i-trace* t associado
 - ① Produção da lista L de *optimal 1-sequences* de π_i
 - ② Seleção aleatória de uma reversão ρ de L
 - ③ Criação do $(i + 1)$ -*trace* $t' \leftarrow t + \rho$
 - ④ Geração de $\pi_{i+1} \leftarrow \pi_i \circ \rho$

Algoritmo Window

- Processamento de um “caminho” aleatório
 - ▶ Permutações $\pi_0, \pi_1, \pi_2, \dots, \pi_{d-1}, \pi_d$
 - ▶ Algoritmo Random modificado
- Algoritmo de enumeração total
 - ▶ w -traces que transformam π_i em π_{i+w}
- Combinação de traces
 - ▶ i -traces que transformam π_0 em π_i
 - ▶ w -traces que transformam π_i em π_{i+w}
 - ▶ $(i + w)$ -traces que transformam π_0 em π_{i+w}

Algoritmo Window

- Processamento de um “caminho” aleatório
 - ▶ Permutações $\pi_0, \pi_1, \pi_2, \dots, \pi_{d-1}, \pi_d$
 - ▶ Algoritmo Random modificado
- Algoritmo de enumeração total
 - ▶ w -traces que transformam π_i em π_{i+w}
- Combinação de traces
 - ▶ i -traces que transformam π_0 em π_i
 - ▶ w -traces que transformam π_i em π_{i+w}
 - ▶ $(i + w)$ -traces que transformam π_0 em π_{i+w}

Algoritmo Window

- Processamento de um “caminho” aleatório
 - ▶ Permutações $\pi_0, \pi_1, \pi_2, \dots, \pi_{d-1}, \pi_d$
 - ▶ Algoritmo Random modificado
- Algoritmo de enumeração total
 - ▶ w -traces que transformam π_i em π_{i+w}
- Combinação de traces
 - ▶ i -traces que transformam π_0 em π_i
 - ▶ w -traces que transformam π_i em π_{i+w}
 - ▶ $(i+w)$ -traces que transformam π_0 em π_{i+w}

Algoritmo Window

- Processamento de um “caminho” aleatório
 - ▶ Permutações $\pi_0, \pi_1, \pi_2, \dots, \pi_{d-1}, \pi_d$
 - ▶ Algoritmo Random modificado
- Algoritmo de enumeração total
 - ▶ w -traces que transformam π_i em π_{i+w}
- Combinação de traces
 - ▶ i -traces que transformam π_0 em π_i
 - ▶ w -traces que transformam π_i em π_{i+w}
 - ▶ $(i+w)$ -traces que transformam π_0 em π_{i+w}

Algoritmo Window

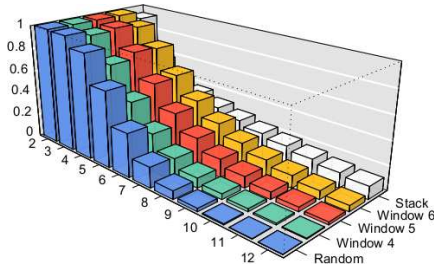
- Processamento de um “caminho” aleatório
 - ▶ Permutações $\pi_0, \pi_1, \pi_2, \dots, \pi_{d-1}, \pi_d$
 - ▶ Algoritmo Random modificado
- Algoritmo de enumeração total
 - ▶ w -traces que transformam π_i em π_{i+w}
- Combinação de traces
 - ▶ i -traces que transformam π_0 em π_i
 - ▶ w -traces que transformam π_i em π_{i+w}
 - ▶ $(i+w)$ -traces que transformam π_0 em π_{i+w}

Algoritmo Window

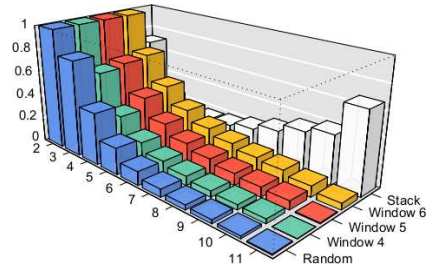
- Processamento de um “caminho” aleatório
 - ▶ Permutações $\pi_0, \pi_1, \pi_2, \dots, \pi_{d-1}, \pi_d$
 - ▶ Algoritmo Random modificado
- Algoritmo de enumeração total
 - ▶ w -traces que transformam π_i em π_{i+w}
- Combinação de traces
 - ▶ i -traces que transformam π_0 em π_i
 - ▶ w -traces que transformam π_i em π_{i+w}
 - ▶ $(i+w)$ -traces que transformam π_0 em π_{i+w}

Comparação dos algoritmos

- Primeiro teste – 6 segundos



(a) Altura média do trace

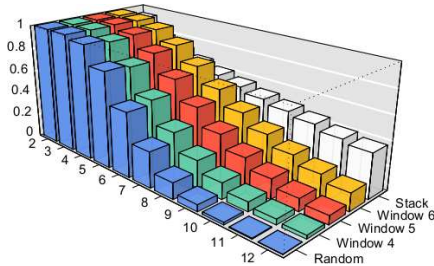


(b) Tamanho médio da reversão

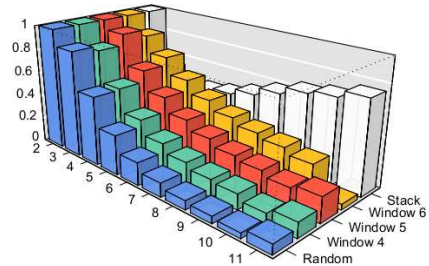
500 permutações aleatórias $n = 15$ e $d(\pi) = 12$

Comparação dos algoritmos

- Primeiro teste – 12 segundos



(a) Altura média do trace

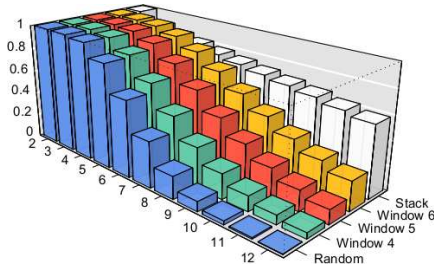


(b) Tamanho médio da reversão

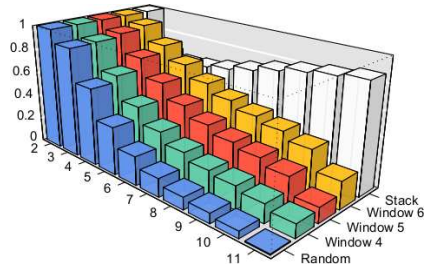
500 permutações aleatórias $n = 15$ e $d(\pi) = 12$

Comparação dos algoritmos

- Primeiro teste – 18 segundos



(a) Altura média do trace

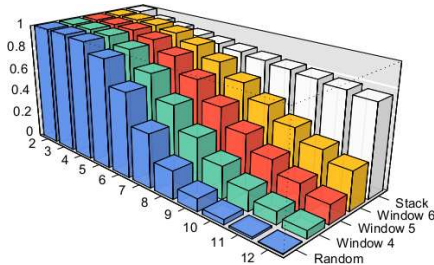


(b) Tamanho médio da reversão

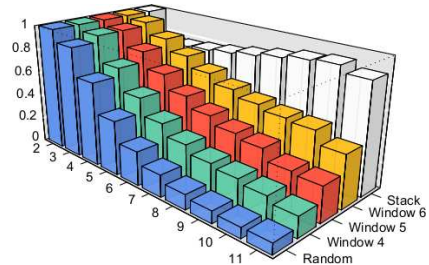
500 permutações aleatórias $n = 15$ e $d(\pi) = 12$

Comparação dos algoritmos

- Primeiro teste – 24 segundos



(a) Altura média do trace

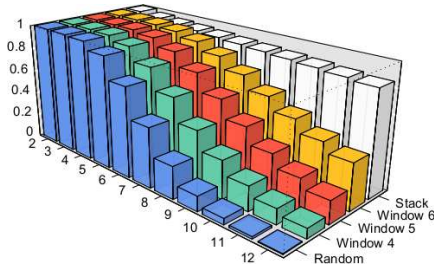


(b) Tamanho médio da reversão

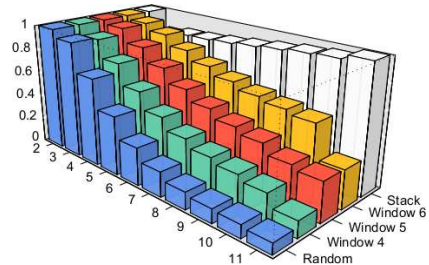
500 permutações aleatórias $n = 15$ e $d(\pi) = 12$

Comparação dos algoritmos

- Primeiro teste – 30 segundos



(a) Altura média do trace

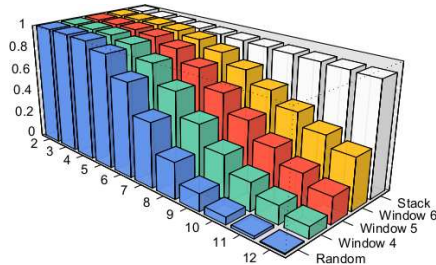


(b) Tamanho médio da reversão

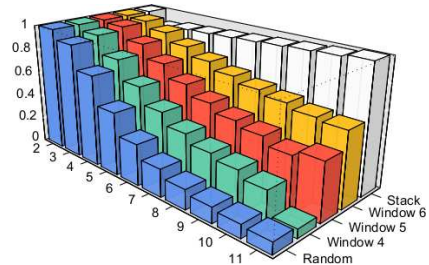
500 permutações aleatórias $n = 15$ e $d(\pi) = 12$

Comparação dos algoritmos

- Primeiro teste – 36 segundos



(a) Altura média do trace

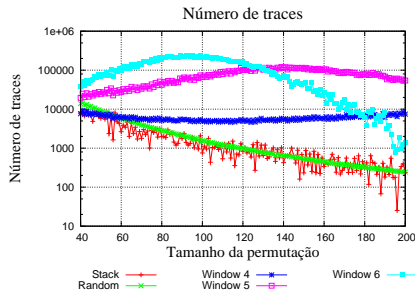


(b) Tamanho médio da reversão

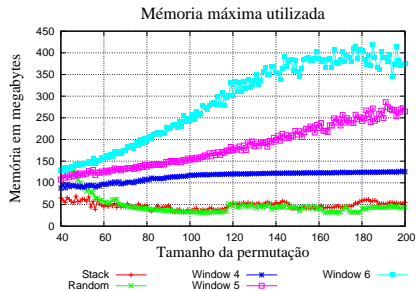
500 permutações aleatórias $n = 15$ e $d(\pi) = 12$

Comparação dos algoritmos

- Segundo teste – 1 minuto (valores médios)



(a) Número de traces



(b) Memória máxima utilizada

100 permutações aleatórias $40 \leq n \leq 200$ e $d(\pi) = \lceil (n+1)/2 \rceil$

Comparação dos algoritmos

- Algoritmo Stack
 - ▶ “Ramos mortos”: Inadequado para grandes permutações
- Algoritmo Random
 - ▶ Performance similar ao do Stack
 - ▶ Aceita restrições
- Algoritmo Window
 - ▶ Capaz de produzir maior enumeração
 - ▶ Processo de combinação de *traces* reduz desempenho
 - ▶ Necessita de maior quantidade de memória

Comparação dos algoritmos

- Algoritmo Stack
 - ▶ “Ramos mortos”: Inadequado para grandes permutações
- Algoritmo Random
 - ▶ Performance similar ao do Stack
 - ▶ Aceita restrições
- Algoritmo Window
 - ▶ Capaz de produzir maior enumeração
 - ▶ Processo de combinação de *traces* reduz desempenho
 - ▶ Necessita de maior quantidade de memória

Comparação dos algoritmos

- Algoritmo Stack
 - ▶ “Ramos mortos”: Inadequado para grandes permutações
- Algoritmo Random
 - ▶ Performance similar ao do Stack
 - ▶ Aceita restrições
- Algoritmo Window
 - ▶ Capaz de produzir maior enumeração
 - ▶ Processo de combinação de *traces* reduz desempenho
 - ▶ Necessita de maior quantidade de memória

Trabalhos futuros

- Enumeração (total ou parcial) de *traces*
 - ▶ Passo inicial de um objetivo maior
 - ★ Auxiliar biólogos na análise de cenários evolutivos
- Incorporação de novas restrições biológicas
- Critérios de classificação de *traces*
 - ▶ Criação de um esquema de pontuação
 - ▶ Ordenação de *traces* de acordo com a pontuação
 - ▶ Identificação de *traces* relevantes
 - ★ Ponto de vista biológico

Trabalhos futuros

- Enumeração (total ou parcial) de *traces*
 - ▶ Passo inicial de um objetivo maior
 - ★ Auxiliar biólogos na análise de cenários evolutivos
- Incorporação de novas restrições biológicas
- Critérios de classificação de *traces*
 - ▶ Criação de um esquema de pontuação
 - ▶ Ordenação de *traces* de acordo com a pontuação
 - ▶ Identificação de *traces* relevantes
 - ★ Ponto de vista biológico

Trabalhos futuros

- Enumeração (total ou parcial) de *traces*
 - ▶ Passo inicial de um objetivo maior
 - ★ Auxiliar biólogos na análise de cenários evolutivos
- Incorporação de novas restrições biológicas
- Critérios de classificação de *traces*
 - ▶ Criação de um esquema de pontuação
 - ▶ Ordenação de *traces* de acordo com a pontuação
 - ▶ Identificação de *traces* relevantes
 - ★ Ponto de vista biológico

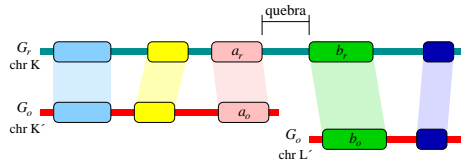
Parte II

Identificação de *breakpoints*

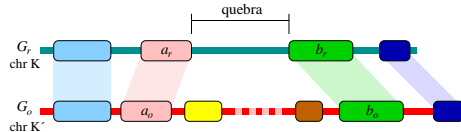
Pontos de quebra

- *Breakpoints*

- ▶ Regiões onde molécula de DNA foi “quebrada”
- ▶ Eventos de rearranjo
 - ★ Evolução: rearranjos evolucionários



(a) Inter-cromossômico



(b) Intra-cromossômico

Identificação e refinamento de *breakpoints*

- Métodos existentes identificam blocos de sintenia
 - ▶ *Breakpoints* são apenas uma consequência
- Lemaitre *et al.*, 2008
 - ▶ Método baseado em duas etapas
 - ★ Identificação de *breakpoints*
 - ★ Refinamento de *breakpoints*

Identificação e refinamento de *breakpoints*

- Métodos existentes identificam blocos de sintenia
 - ▶ *Breakpoints* são apenas uma consequência
- Lemaitre *et al.*, 2008
 - ▶ Método baseado em duas etapas
 - ★ Identificação de *breakpoints*
 - ★ Refinamento de *breakpoints*

Identificação de *breakpoints*

- Lista de pares de genes ortólogos 1-1
- Blocos de sintenia ordenados
- Blocos sem sobreposição

Identificação de *breakpoints*

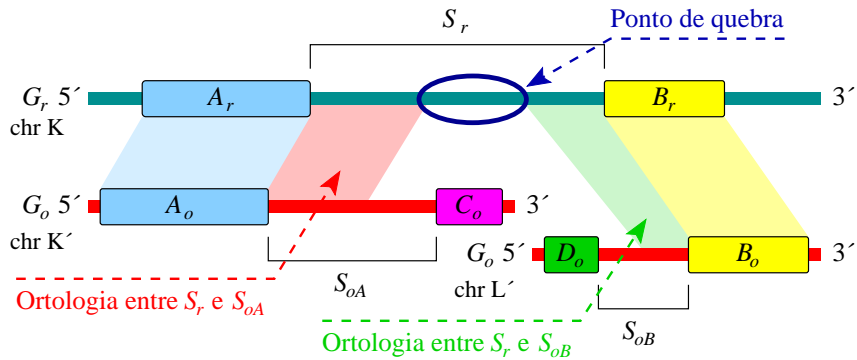
- Lista de pares de genes ortólogos 1-1
- Blocos de sintenia ordenados
- Blocos sem sobreposição

Identificação de *breakpoints*

- Lista de pares de genes ortólogos 1-1
- Blocos de sintenia ordenados
- Blocos sem sobreposição

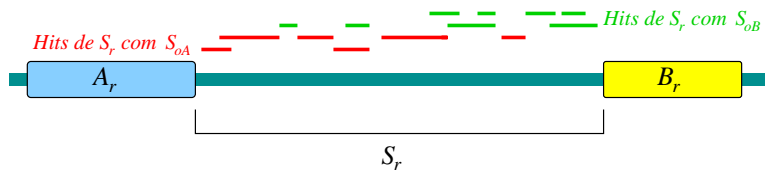
Refinamento de *breakpoints*

- Definição de sequências de interesse
 - S_r , S_{oA} e S_{oB}



Refinamento de *breakpoints*

- Alinhamento de sequências
 - ▶ S_r contra S_{oA}
 - ▶ S_r contra S_{oB}
- Algoritmo BLASTZ
 - ▶ Adequado para alinhamento de sequências intergênicas



Refinamento de *breakpoints*

- Conversão de S_r em uma sequência numérica I
 - ▶ $I_k = +1$: *hit* com S_{oA} e nenhum *hit* com S_{oB}
 - ▶ $I_k = -1$: *hit* com S_{oB} e nenhum *hit* com S_{oA}
 - ▶ $I_k = 0$: nenhum *hit* ou *hits* com S_{oA} e S_{oB}
- Métodos de detecção de ruptura
 - ▶ Segmentar I (S_r) em três regiões
 - ▶ Minimizar função de contraste (erro quadrático)
- Validação estatística
 - ▶ Verificar se S_r é estruturada em três segmentos

Refinamento de *breakpoints*

- Conversão de S_r em uma sequência numérica I
 - ▶ $I_k = +1$: *hit* com S_{oA} e nenhum *hit* com S_{oB}
 - ▶ $I_k = -1$: *hit* com S_{oB} e nenhum *hit* com S_{oA}
 - ▶ $I_k = 0$: nenhum *hit* ou *hits* com S_{oA} e S_{oB}
- Métodos de detecção de ruptura
 - ▶ Segmentar I (S_r) em três regiões
 - ▶ Minimizar função de contraste (erro quadrático)
- Validação estatística
 - ▶ Verificar se S_r é estruturada em três segmentos

Refinamento de *breakpoints*

- Conversão de S_r em uma sequência numérica I
 - ▶ $I_k = +1$: *hit* com S_{oA} e nenhum *hit* com S_{oB}
 - ▶ $I_k = -1$: *hit* com S_{oB} e nenhum *hit* com S_{oA}
 - ▶ $I_k = 0$: nenhum *hit* ou *hits* com S_{oA} e S_{oB}
- Métodos de detecção de ruptura
 - ▶ Segmentar I (S_r) em três regiões
 - ▶ Minimizar função de contraste (erro quadrático)
- Validação estatística
 - ▶ Verificar se S_r é estruturada em três segmentos

Implementação do pacote Cassis

- Implementação em Perl e R
 - ▶ Script principal facilita utilização
 - ▶ Modularização do código permite extensões
- Blocos de sintenia produzidos por outros métodos
 - ▶ Testes comparativos com Compara e Mauve
 - ▶ Capacidade de refinar *breakpoints* produzidos por outros métodos
- Trabalho publicado na *Bioinformatics*
- Disponível sob licença GNU GPL
 - ▶ <http://pbil.univ-lyon1.fr/software/Cassis/>

Implementação do pacote Cassis

- Implementação em Perl e R
 - ▶ Script principal facilita utilização
 - ▶ Modularização do código permite extensões
- Blocos de sintenia produzidos por outros métodos
 - ▶ Testes comparativos com Compara e Mauve
 - ▶ Capacidade de refinar *breakpoints* produzidos por outros métodos
- Trabalho publicado na *Bioinformatics*
- Disponível sob licença GNU GPL
 - ▶ <http://pbil.univ-lyon1.fr/software/Cassis/>

Implementação do pacote Cassis

- Implementação em Perl e R
 - ▶ Script principal facilita utilização
 - ▶ Modularização do código permite extensões
- Blocos de sintenia produzidos por outros métodos
 - ▶ Testes comparativos com Compara e Mauve
 - ▶ Capacidade de refinar *breakpoints* produzidos por outros métodos
- Trabalho publicado na *Bioinformatics*
- Disponível sob licença GNU GPL
 - ▶ <http://pbil.univ-lyon1.fr/software/Cassis/>

Implementação do pacote Cassis

- Implementação em Perl e R
 - ▶ Script principal facilita utilização
 - ▶ Modularização do código permite extensões
- Blocos de sintenia produzidos por outros métodos
 - ▶ Testes comparativos com Compara e Mauve
 - ▶ Capacidade de refinar *breakpoints* produzidos por outros métodos
- Trabalho publicado na *Bioinformatics*
- Disponível sob licença GNU GPL
 - ▶ <http://pbil.univ-lyon1.fr/software/Cassis/>

Trabalhos futuros

- Estender metodologia para múltiplos genomas
 - ▶ Definição de âncoras
 - ★ Exigências sobre relações de ortologia
 - ▶ Alinhamentos de sequências de interesse
 - ★ Alinhamento dois a dois
 - ★ Alinhamento múltiplo
 - ▶ Segmentação
 - ★ Adaptação para dados de múltiplos alinhamentos

Trabalhos futuros

- Estender metodologia para múltiplos genomas
 - ▶ Definição de âncoras
 - ★ Exigências sobre relações de ortologia
 - ▶ Alinhamentos de sequências de interesse
 - ★ Alinhamento dois a dois
 - ★ Alinhamento múltiplo
 - ▶ Segmentação
 - ★ Adaptação para dados de múltiplos alinhamentos

Trabalhos futuros

- Estender metodologia para múltiplos genomas
 - ▶ Definição de âncoras
 - ★ Exigências sobre relações de ortologia
 - ▶ Alinhamentos de sequências de interesse
 - ★ Alinhamento dois a dois
 - ★ Alinhamento múltiplo
 - ▶ Segmentação
 - ★ Adaptação para dados de múltiplos alinhamentos

Trabalhos futuros

- Estender metodologia para múltiplos genomas
 - ▶ Definição de âncoras
 - ★ Exigências sobre relações de ortologia
 - ▶ Alinhamentos de sequências de interesse
 - ★ Alinhamento dois a dois
 - ★ Alinhamento múltiplo
 - ▶ Segmentação
 - ★ Adaptação para dados de múltiplos alinhamentos

Análise de sequências intergênicas

- Sequências em regiões de *breakpoints*
 - ▶ Menores níveis de similaridade com seus ortólogos
 - ▶ Presença de duplicações e elementos transponíveis
- Nova metodologia de detecção de *breakpoints*
 - ▶ Independente de informações prévias de ortologia
 - ▶ Baseada nas características das regiões intergênicas

Análise de sequências intergênicas

- Sequências em regiões de *breakpoints*
 - ▶ Menores níveis de similaridade com seus ortólogos
 - ▶ Presença de duplicações e elementos transponíveis
- Nova metodologia de detecção de *breakpoints*
 - ▶ Independente de informações prévias de ortologia
 - ▶ Baseada nas características das regiões intergênicas

Alinhamento de sequências

- Dados obtidos da plataforma Ensembl (versão: 56)
 - ▶ *Homo sapiens*: 46.946 genes
 - ▶ *Mus musculus*: 31.458 genes
- Definição de regiões intergênicas (> 100 bp)
 - ▶ *Homo sapiens*: 29.542 regiões
 - ▶ *Mus musculus*: 26.296 regiões
- Alinhamento com BLASTN
 - ▶ Pares de regiões com algum nível de similaridade
 - ▶ 5.022.606 pares de regiões
- Alinhamento com BLASTZ
 - ▶ Algoritmo mais adequado às regiões intergênicas
 - ▶ 135.967 pares de regiões

Alinhamento de sequências

- Dados obtidos da plataforma Ensembl (versão: 56)
 - ▶ *Homo sapiens*: 46.946 genes
 - ▶ *Mus musculus*: 31.458 genes
- Definição de regiões intergênicas (> 100 bp)
 - ▶ *Homo sapiens*: 29.542 regiões
 - ▶ *Mus musculus*: 26.296 regiões
- Alinhamento com BLASTN
 - ▶ Pares de regiões com algum nível de similaridade
 - ▶ 5.022.606 pares de regiões
- Alinhamento com BLASTZ
 - ▶ Algoritmo mais adequado às regiões intergênicas
 - ▶ 135.967 pares de regiões

Alinhamento de sequências

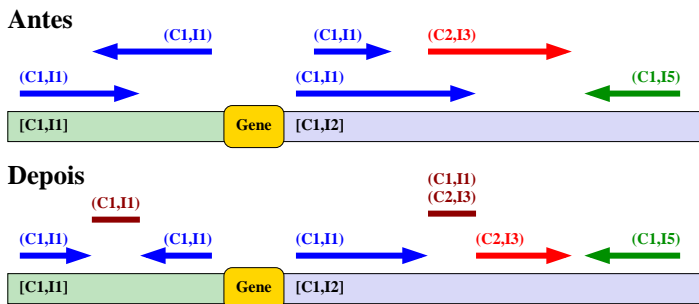
- Dados obtidos da plataforma Ensembl (versão: 56)
 - ▶ *Homo sapiens*: 46.946 genes
 - ▶ *Mus musculus*: 31.458 genes
- Definição de regiões intergênicas (> 100 bp)
 - ▶ *Homo sapiens*: 29.542 regiões
 - ▶ *Mus musculus*: 26.296 regiões
- Alinhamento com BLASTN
 - ▶ Pares de regiões com algum nível de similaridade
 - ▶ 5.022.606 pares de regiões
- Alinhamento com BLASTZ
 - ▶ Algoritmo mais adequado às regiões intergênicas
 - ▶ 135.967 pares de regiões

Alinhamento de sequências

- Dados obtidos da plataforma Ensembl (versão: 56)
 - ▶ *Homo sapiens*: 46.946 genes
 - ▶ *Mus musculus*: 31.458 genes
- Definição de regiões intergênicas (> 100 bp)
 - ▶ *Homo sapiens*: 29.542 regiões
 - ▶ *Mus musculus*: 26.296 regiões
- Alinhamento com BLASTN
 - ▶ Pares de regiões com algum nível de similaridade
 - ▶ 5.022.606 pares de regiões
- Alinhamento com BLASTZ
 - ▶ Algoritmo mais adequado às regiões intergênicas
 - ▶ 135.967 pares de regiões

Padronização dos *hits*

- Padronização dos *hits* ao longo de um cromossomo
 - Eliminação de sobreposições
 - Distinção de posições com *hits*
 - Com única região e orientação
 - Com mais de uma região e/ou orientação



Comparação de regiões intergênicas

- Dificuldades
 - ▶ Regiões intergênicas possuem diferentes comprimentos
 - ▶ Cobertura de *hits* ao longo do cromossomo é ruidosa
- Fragmentação de regiões intergênicas
 - ▶ Fragmentos de 100 bp sem sobreposição
 - ▶ Cobertura por *hits* calculada para cada fragmento
- Estratégia de janela deslizante
 - ▶ Cálculo de cobertura dentro da janela
 - ▶ Suavização do ruído

Comparação de regiões intergênicas

- Dificuldades
 - ▶ Regiões intergênicas possuem diferentes comprimentos
 - ▶ Cobertura de *hits* ao longo do cromossomo é ruidosa
- Fragmentação de regiões intergênicas
 - ▶ Fragmentos de 100 bp sem sobreposição
 - ▶ Cobertura por *hits* calculada para cada fragmento
- Estratégia de janela deslizante
 - ▶ Cálculo de cobertura dentro da janela
 - ▶ Suavização do ruído

Comparação de regiões intergênicas

- Dificuldades
 - ▶ Regiões intergênicas possuem diferentes comprimentos
 - ▶ Cobertura de *hits* ao longo do cromossomo é ruidosa
- Fragmentação de regiões intergênicas
 - ▶ Fragmentos de 100 bp sem sobreposição
 - ▶ Cobertura por *hits* calculada para cada fragmento
- Estratégia de janela deslizante
 - ▶ Cálculo de cobertura dentro da janela
 - ▶ Suavização do ruído

Janela deslizante

- Janela deslizante de tamanho $2w + 1$
 - ▶ Medida em número de fragmentos
 - ▶ Valor calculado é associado ao fragmento central ($w + 1$)
 - ▶ Janela deslocada de um em um fragmento
- Identificar regiões
 - ▶ Cobertura menor do que as regiões no entorno
- Um ou dois níveis de processamento
 - ▶ Nível 1 – Cromossomo
 - ★ Distinção de regiões que possuem cobertura menor e maior do que a média observada no cromossomo inteiro
 - ▶ Nível 2 – Regiões produzidas no nível 1
 - ★ Distinção de regiões que possuem cobertura menor e maior do que a média observada na região processada

Janela deslizante

- Janela deslizante de tamanho $2w + 1$
 - ▶ Medida em número de fragmentos
 - ▶ Valor calculado é associado ao fragmento central ($w + 1$)
 - ▶ Janela deslocada de um em um fragmento
- Identificar regiões
 - ▶ Cobertura menor do que as regiões no entorno
- Um ou dois níveis de processamento
 - ▶ Nível 1 – Cromossomo
 - ★ Distinção de regiões que possuem cobertura menor e maior do que a média observada no cromossomo inteiro
 - ▶ Nível 2 – Regiões produzidas no nível 1
 - ★ Distinção de regiões que possuem cobertura menor e maior do que a média observada na região processada

Janela deslizante

- Janela deslizante de tamanho $2w + 1$
 - ▶ Medida em número de fragmentos
 - ▶ Valor calculado é associado ao fragmento central ($w + 1$)
 - ▶ Janela deslocada de um em um fragmento
- Identificar regiões
 - ▶ Cobertura menor do que as regiões no entorno
- Um ou dois níveis de processamento
 - ▶ Nível 1 – Cromossomo
 - ★ Distinção de regiões que possuem cobertura menor e maior do que a média observada no cromossomo inteiro
 - ▶ Nível 2 – Regiões produzidas no nível 1
 - ★ Distinção de regiões que possuem cobertura menor e maior do que a média observada na região processada

Encadeamento de *hits*

- Regiões identificadas pela janela deslizante
 - ▶ Cobertura abaixo da média da região base
- Seleção de *hits* de C_r com $\sigma_o \in \{-1, +1\}$
 - ▶ Par ou dois pares (C_o, σ_o) mais representados
 - ▶ Segundo par deve ter pelo menos $p2_{min}\%$ dos *hits*
 - ▶ Par mais representado deve somar pelo menos s_{min} bp
 - ▶ *Hits* são posicionados ao longo de C_r
- Cálculo de Δ entre *hits* consecutivos
 - ▶ Se cromossomos e orientações são iguais
 - ★ $\Delta_i = l_{o(i)} - l_{o(i-1)}$
 - ▶ Caso contrário
 - ★ $\Delta_i = \infty$

Encadeamento de *hits*

- Regiões identificadas pela janela deslizante
 - ▶ Cobertura abaixo da média da região base
- Seleção de *hits* de C_r com $\sigma_o \in \{-1, +1\}$
 - ▶ Par ou dois pares (C_o, σ_o) mais representados
 - ▶ Segundo par deve ter pelo menos $p2_{min}\%$ dos *hits*
 - ▶ Par mais representado deve somar pelo menos s_{min} bp
 - ▶ *Hits* são posicionados ao longo de C_r
- Cálculo de Δ entre *hits* consecutivos
 - ▶ Se cromossomos e orientações são iguais
 - ★ $\Delta_i = l_{o(i)} - l_{o(i-1)}$
 - ▶ Caso contrário
 - ★ $\Delta_i = \infty$

Encadeamento de *hits*

- Regiões identificadas pela janela deslizante
 - ▶ Cobertura abaixo da média da região base
- Seleção de *hits* de C_r com $\sigma_o \in \{-1, +1\}$
 - ▶ Par ou dois pares (C_o, σ_o) mais representados
 - ▶ Segundo par deve ter pelo menos $p2_{min}\%$ dos *hits*
 - ▶ Par mais representado deve somar pelo menos s_{min} bp
 - ▶ *Hits* são posicionados ao longo de C_r
- Cálculo de Δ entre *hits* consecutivos
 - ▶ Se cromossomos e orientações são iguais
 - ★ $\Delta_i = I_{o(i)} - I_{o(i-1)}$
 - ▶ Caso contrário
 - ★ $\Delta_i = \infty$

Encadeamento de *hits*

- Sequência de *hits* de C_r é percorrida
- *Hits* com $|\Delta_i| \leq \Delta_{max}$ são encadeados
- *Hits* com $|\Delta_i| > \Delta_{max}$ são analisados
 - ▶ Se *hits* $h_{(i-1)}$ e $h_{(i+1)}$ possuem mesmo par (C_o, σ_o)
 - ★ *Hit* h_i é “intruso”
 - ★ *Hit* h_i é eliminado e $\Delta_{(i+1)}$ é atualizado
 - ▶ Senão, se os *hits* h_i e $h_{(i+1)}$ possuem mesmo par (C_o, σ_o) e $|\Delta_{(i+1)}| \leq \Delta_{max}$
 - ★ *Breakpoint* entre $h_{(i-1)}$ e $h_{(i)}$
 - ▶ Senão
 - ★ *Hit* h_i é “intruso”
 - ★ *Hit* h_i é eliminado e $\Delta_{(i+1)}$ é atualizado

Encadeamento de *hits*

- Sequência de *hits* de C_r é percorrida
- *Hits* com $|\Delta_i| \leq \Delta_{max}$ são encadeados
- *Hits* com $|\Delta_i| > \Delta_{max}$ são analisados
 - ▶ Se *hits* $h_{(i-1)}$ e $h_{(i+1)}$ possuem mesmo par (C_o, σ_o)
 - ★ *Hit* h_i é “intruso”
 - ★ *Hit* h_i é eliminado e $\Delta_{(i+1)}$ é atualizado
 - ▶ Senão, se os *hits* h_i e $h_{(i+1)}$ possuem mesmo par (C_o, σ_o) e $|\Delta_{(i+1)}| \leq \Delta_{max}$
 - ★ *Breakpoint* entre $h_{(i-1)}$ e $h_{(i)}$
 - ▶ Senão
 - ★ *Hit* h_i é “intruso”
 - ★ *Hit* h_i é eliminado e $\Delta_{(i+1)}$ é atualizado

Encadeamento de *hits*

- Sequência de *hits* de C_r é percorrida
- *Hits* com $|\Delta_i| \leq \Delta_{max}$ são encadeados
- *Hits* com $|\Delta_i| > \Delta_{max}$ são analisados
 - ▶ Se *hits* $h_{(i-1)}$ e $h_{(i+1)}$ possuem mesmo par (C_o, σ_o)
 - ★ *Hit* h_i é “intruso”
 - ★ *Hit* h_i é eliminado e $\Delta_{(i+1)}$ é atualizado
 - ▶ Senão, se os *hits* h_i e $h_{(i+1)}$ possuem mesmo par (C_o, σ_o) e $|\Delta_{(i+1)}| \leq \Delta_{max}$
 - ★ *Breakpoint* entre $h_{(i-1)}$ e $h_{(i)}$
 - ▶ Senão
 - ★ *Hit* h_i é “intruso”
 - ★ *Hit* h_i é eliminado e $\Delta_{(i+1)}$ é atualizado

Encadeamento de *hits*

- Sequência de *hits* de C_r é percorrida
- *Hits* com $|\Delta_i| \leq \Delta_{max}$ são encadeados
- *Hits* com $|\Delta_i| > \Delta_{max}$ são analisados
 - ▶ Se *hits* $h_{(i-1)}$ e $h_{(i+1)}$ possuem mesmo par (C_o, σ_o)
 - ★ *Hit* h_i é “intruso”
 - ★ *Hit* h_i é eliminado e $\Delta_{(i+1)}$ é atualizado
 - ▶ Senão, se os *hits* h_i e $h_{(i+1)}$ possuem mesmo par (C_o, σ_o) e $|\Delta_{(i+1)}| \leq \Delta_{max}$
 - ★ *Breakpoint* entre $h_{(i-1)}$ e $h_{(i)}$
 - ▶ Senão
 - ★ *Hit* h_i é “intruso”
 - ★ *Hit* h_i é eliminado e $\Delta_{(i+1)}$ é atualizado

Encadeamento de *hits*

- Sequência de *hits* de C_r é percorrida
- *Hits* com $|\Delta_i| \leq \Delta_{max}$ são encadeados
- *Hits* com $|\Delta_i| > \Delta_{max}$ são analisados
 - ▶ Se *hits* $h_{(i-1)}$ e $h_{(i+1)}$ possuem mesmo par (C_o, σ_o)
 - ★ *Hit* h_i é “intruso”
 - ★ *Hit* h_i é eliminado e $\Delta_{(i+1)}$ é atualizado
 - ▶ Senão, se os *hits* h_i e $h_{(i+1)}$ possuem mesmo par (C_o, σ_o) e $|\Delta_{(i+1)}| \leq \Delta_{max}$
 - ★ *Breakpoint* entre $h_{(i-1)}$ e $h_{(i)}$
 - ▶ Senão
 - ★ *Hit* h_i é “intruso”
 - ★ *Hit* h_i é eliminado e $\Delta_{(i+1)}$ é atualizado

Encadeamento de *hits*

- Sequência de *hits* de C_r é percorrida
- *Hits* com $|\Delta_i| \leq \Delta_{max}$ são encadeados
- *Hits* com $|\Delta_i| > \Delta_{max}$ são analisados
 - ▶ Se *hits* $h_{(i-1)}$ e $h_{(i+1)}$ possuem mesmo par (C_o, σ_o)
 - ★ *Hit* h_i é “intruso”
 - ★ *Hit* h_i é eliminado e $\Delta_{(i+1)}$ é atualizado
 - ▶ Senão, se os *hits* h_i e $h_{(i+1)}$ possuem mesmo par (C_o, σ_o) e $|\Delta_{(i+1)}| \leq \Delta_{max}$
 - ★ *Breakpoint* entre $h_{(i-1)}$ e $h_{(i)}$
 - ▶ Senão
 - ★ *Hit* h_i é “intruso”
 - ★ *Hit* h_i é eliminado e $\Delta_{(i+1)}$ é atualizado

Testes

- Janela deslizante
 - ▶ Um nível
 - ★ $w_1 \in \{50, 125, 250, 500, 1.000, 1.500, 2.000, 2.500\}$
 - ▶ Dois níveis
 - ★ $w_1 = 500$
 - ★ $w_2 \in \{62, 125, 250, 375, 500, 625, 750\}$
- Encadeamento de *hits*
 - ▶ $s_{min} = 100$ bp
 - ▶ $p2_{min} = 10\%$
 - ▶ $\Delta_{max} = 10$

Testes

- Janela deslizante

- ▶ Um nível
 - ★ $w_1 \in \{50, 125, 250, 500, 1.000, 1.500, 2.000, 2.500\}$
 - ▶ Dois níveis
 - ★ $w_1 = 500$
 - ★ $w_2 \in \{62, 125, 250, 375, 500, 625, 750\}$

- Encadeamento de *hits*

- ▶ $s_{min} = 100$ bp
 - ▶ $p2_{min} = 10\%$
 - ▶ $\Delta_{max} = 10$

Comparação com Cassis

- Utilizando dados de ortologia
 - ▶ Cassis identificou 369 *breakpoints*
- Nova metodologia
 - ▶ Conforme a configuração das janelas deslizantes
 - ★ Entre 47,7% e 62,3% dos *breakpoints* refinados do Cassis tiveram um único *breakpoint* correspondente
 - ▶ Pequena vantagem para janela deslizante com dois níveis
 - ▶ Problema
 - ★ Grande número de *breakpoints* sem correspondência
 - ★ Prováveis falsos positivos

Comparação com Cassis

- Utilizando dados de ortologia
 - ▶ Cassis identificou 369 *breakpoints*
- Nova metodologia
 - ▶ Conforme a configuração das janelas deslizantes
 - ★ Entre 47,7% e 62,3% dos *breakpoints* refinados do Cassis tiveram um único *breakpoint* correspondente
 - ▶ Pequena vantagem para janela deslizante com dois níveis
 - ▶ Problema
 - ★ Grande número de *breakpoints* sem correspondência
 - ★ Prováveis falsos positivos

Comparação com Cassis

- Utilizando dados de ortologia
 - ▶ Cassis identificou 369 *breakpoints*
- Nova metodologia
 - ▶ Conforme a configuração das janelas deslizantes
 - ★ Entre 47,7% e 62,3% dos *breakpoints* refinados do Cassis tiveram um único *breakpoint* correspondente
 - ▶ Pequena vantagem para janela deslizante com dois níveis
 - ▶ Problema
 - ★ Grande número de *breakpoints* sem correspondência
 - ★ Prováveis falsos positivos

Comparação com Cassis

- Utilizando dados de ortologia
 - ▶ Cassis identificou 369 *breakpoints*
- Nova metodologia
 - ▶ Conforme a configuração das janelas deslizantes
 - ★ Entre 47,7% e 62,3% dos *breakpoints* refinados do Cassis tiveram um único *breakpoint* correspondente
 - ▶ Pequena vantagem para janela deslizante com dois níveis
 - ▶ Problema
 - ★ Grande número de *breakpoints* sem correspondência
 - ★ Prováveis falsos positivos

Trabalhos futuros

- Embrião de nova metodologia
 - ▶ Mesmo sem utilizar informação de ortologia é capaz de encontrar *breakpoints*
 - ▶ Amplo potencial de aprimoramento
- Avaliação cuidadosa dos *breakpoints*
 - ▶ Falsos positivos
 - ▶ Falsos negativos
 - ▶ Verdadeiros positivos

Trabalhos futuros

- Embrião de nova metodologia
 - ▶ Mesmo sem utilizar informação de ortologia é capaz de encontrar *breakpoints*
 - ▶ Amplo potencial de aprimoramento
- Avaliação cuidadosa dos *breakpoints*
 - ▶ Falsos positivos
 - ▶ Falsos negativos
 - ▶ Verdadeiros positivos

Trabalhos futuros

- Considerar regiões com alta cobertura
- Aperfeiçoar critérios
 - ▶ Encadeamento de *hits*
 - ▶ Definição de ocorrência de *breakpoint*
- Ajuste de parâmetros

Trabalhos futuros

- Considerar regiões com alta cobertura
- Aperfeiçoar critérios
 - ▶ Encadeamento de *hits*
 - ▶ Definição de ocorrência de *breakpoint*
- Ajuste de parâmetros

Trabalhos futuros

- Considerar regiões com alta cobertura
- Aperfeiçoar critérios
 - ▶ Encadeamento de *hits*
 - ▶ Definição de ocorrência de *breakpoint*
- Ajuste de parâmetros

Contribuições do trabalho

- Novo algoritmo de enumeração de *traces*
 - ▶ Estrutura de pilha
 - ▶ Melhora no consumo de tempo e memória
- Nova abordagem para enumeração de *traces*
 - ▶ Enumeração parcial de *traces*
 - ▶ Três algoritmos propostos
- Identificação e refinamento de *breakpoints*
 - ▶ Metodologia proposta por Lemaitre *et al.*, 2008
 - ▶ Implementação do pacote Cassis
- Nova metodologia para identificação de *breakpoints*
 - ▶ Análise de regiões intergênicas
 - ▶ Não necessita de informações de ortologia

Contribuições do trabalho

- Novo algoritmo de enumeração de *traces*
 - ▶ Estrutura de pilha
 - ▶ Melhora no consumo de tempo e memória
- Nova abordagem para enumeração de *traces*
 - ▶ Enumeração parcial de *traces*
 - ▶ Três algoritmos propostos
- Identificação e refinamento de *breakpoints*
 - ▶ Metodologia proposta por Lemaitre *et al.*, 2008
 - ▶ Implementação do pacote Cassis
- Nova metodologia para identificação de *breakpoints*
 - ▶ Análise de regiões intergênicas
 - ▶ Não necessita de informações de ortologia

Contribuições do trabalho

- Novo algoritmo de enumeração de *traces*
 - ▶ Estrutura de pilha
 - ▶ Melhora no consumo de tempo e memória
- Nova abordagem para enumeração de *traces*
 - ▶ Enumeração parcial de *traces*
 - ▶ Três algoritmos propostos
- Identificação e refinamento de *breakpoints*
 - ▶ Metodologia proposta por Lemaitre *et al.*, 2008
 - ▶ Implementação do pacote Cassis
- Nova metodologia para identificação de *breakpoints*
 - ▶ Análise de regiões intergênicas
 - ▶ Não necessita de informações de ortologia

Contribuições do trabalho

- Novo algoritmo de enumeração de *traces*
 - ▶ Estrutura de pilha
 - ▶ Melhora no consumo de tempo e memória
- Nova abordagem para enumeração de *traces*
 - ▶ Enumeração parcial de *traces*
 - ▶ Três algoritmos propostos
- Identificação e refinamento de *breakpoints*
 - ▶ Metodologia proposta por Lemaitre *et al.*, 2008
 - ▶ Implementação do pacote Cassis
- Nova metodologia para identificação de *breakpoints*
 - ▶ Análise de regiões intergênicas
 - ▶ Não necessita de informações de ortologia